

リアルタイム性とスループット向上を両立する 完全仮想化の研究

特定チーム（課題番号：167201）

研究期間：平成 28 年 7 月 28 日～平成 29 年 3 月 31 日

研究代表者：請園智玲 研究員：荒木光一

1. 研究背景

リアルタイム処理が要求されるコンピュータ組込み機器は数多くある。その中でも自動車や航空機の制御や、医療機器はリアルタイム性能が直接的に人命にかかわるためリアルタイム性（ハードリアルタイム）の保証に注意深く設計されなければならない。この場合の開発工数の大半は検証のために使われ、それが開発期間の支配的要因となる。一方、近年の製品のリリースサイクルはますます早まり、組込み向けコンピュータシステムの効率的な開発が必要とされている。

組込みシステムの開発において、製品のリリースサイクルを早めるための組込み仮想化の技術が研究されている。組込み仮想化は既存システムのソフトウェアの下位レベル（OSなど）から上位レベル（アプリケーション）までのすべてを異なるハードウェアに移植する技術である。仮想化はクラウドなどに用いられ、エンタープライズシステムなどにすでに適用されているが、コンピュータの処理性能が低い組込みシステムに適用するためには、VMM（Virtual Machine Monitor）と呼ばれる仮想化の制御ソフトウェアのソフトウェアオーバーヘッドがリアルタイム性を阻害する要因となり、ハードリアルタイム性が要求される組込みアプリケーションへの適用が難しい。

このような背景から、本研究はVMMを完全にハードウェアで実装し、ソフトウェアオーバーヘッドを仮想化から排除することで、ハードリアルタイムシステムへの仮想化の適用を可能にし、ハードリアルタイムシステムの開発工数の削減を目的とする。

これまでの研究で、組込み仮想化を実現するための、各種ハードウェアコンポーネントを提案してきた。本研究では、リアルタイムタスクスケジューラのハードウェア化に着目し、ハードウェアリアルタイムタスクスケ

ジューラをVMMのCPUリソース管理機能として応用することで、資源管理のハードウェアコンポーネントを構築する。これを本研究ではハードウェアドメインスケジューラと呼ぶ。

2. 布線論理タスクスケジューラ

本研究は布線論理でタスクスケジューラを実現する際の回路規模に着目する。通常、汎用システムのタスクスケジューラはシステム上で動作するタスク数に比例して、ワーキングセットサイズが変動する。主記憶資源を利用できない布線論理でタスクスケジューラを実装するためには、この可変サイズのワーキングセットを固定サイズで実現する必要がある。このため、布線論理のタスクスケジューラを用いると、システム上で実行可能なタスク数に上限ができる。この制限は、汎用システムにおいては受け入れがたい制約となる。一方、組込みシステムは、製品の詳細設計が確定した時点でシステムが生産実行するタスクセットが静的に決まる特性を持つ。このため、設計したタスクセットが与えられた布線論理のタスクスケジューラの容量で実行可能か否かを事前に知ることが可能となる。この組込みシステムの特性から、布線論理のタスクスケジューラは大きなシステム上の制約とはなりえない。

比較的大規模な組込みシステムを設計する上で、布線論理を用いてタスクスケジューラを実現する場合、タスクスケジューラが扱うワーキングセットを保持するために、チップ内に大量の記憶素子が必要とされる。もし、現在の半導体の集積度において、現実的な回路規模で実現可能であるならば、布線論理で実現されたタスクスケジューラは組込み向けSoCの重要な機能部品となりえる。本稿は比較的単純なタスクスケジューラを持つ組込みOSである μ ITRON仕様[1]の μ T-Kernel[2]のスケ

ジューリングアルゴリズムとデータ構造を対象とする。そして、近年の高集積化による恩恵で、どの程度のタスク数に対応するタスクスケジューラが布線論理によって実装可能かを、FPGAを対象とした論理合成の結果から考察することを目的としている。

3. μ ITRON タスクスケジューラ

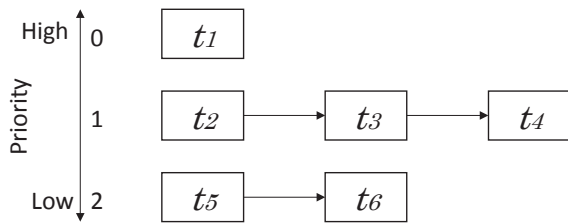


図1 タスクスケジューラのデータ構造

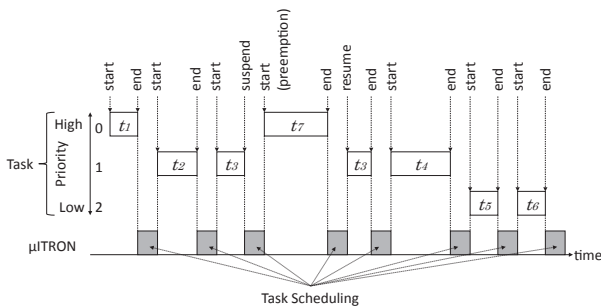


図2 タスクスケジューラの動作

μ ITRONはTRONプロジェクトが策定している組込みOSの仕様である。 μ ITRONに準拠した組込みOSは家電製品や工業制御機器など様々な組込みシステムで利用されている。

タスクスケジューラは組込みOSの重要な一機能であり、タスクの実行順序を決定する。 μ ITRONではプリエンティブな優先度ベーススケジューリング方式を採用している。この方式はレディーキューと呼ばれる実行可能なタスクを扱うキューを用いて優先度の高いタスクから順に実行する。また、実行中のタスクより高い優先度のタスクがレディーキューに追加された場合、実行中のタスクを中断して追加されたタスクを実行させる。この実行権横取りはプリエンプションと呼ばれる。

例として、図1に、3つの優先度で構成するレディーキューのデータ構造を示す。tはタスク、その添字はタスクIDである。各優先度のタスクはリストとして管理されている。新規タスクはその優先度のリストの末尾に追加される。

図2に、 μ ITRONタスクスケジューラによるタスクの実行例を示す。レディーキューの初期状態は図1とし、 t_3 の実行中に優先度0の t_7 がレディーキューに追加されたときの実行例である。灰色の四角は μ ITRON仕様の組込みOSによるタスクスケジューリングの処理を示す。タスクスケジューリングは、各タスクがタスクの追加や完了など μ ITRONのサービスコールが呼び出されたときに行われる。まず、優先度0の t_1 が実行される。 t_1 完了後、 μ ITRONタスクスケジューラはレディーキューの t_1 を削除し、リスケジューリングする。このとき、優先度0にはタスクがないため優先度1の t_2 が実行され、その完了後に t_2 の削除とリスケジューリングが行われる。その後実行される t_3 は、サービスコールで優先度0の t_7 をレディーキューに追加する処理を行う。 t_7 の追加後、リスケジューリングが行われ、 t_3 を中断して t_7 を開始する(プリエンプション)。 t_7 完了後、 t_3 を再開する。以降、 $t_4 \rightarrow t_5 \rightarrow t_6$ の順に各タスクが完了す

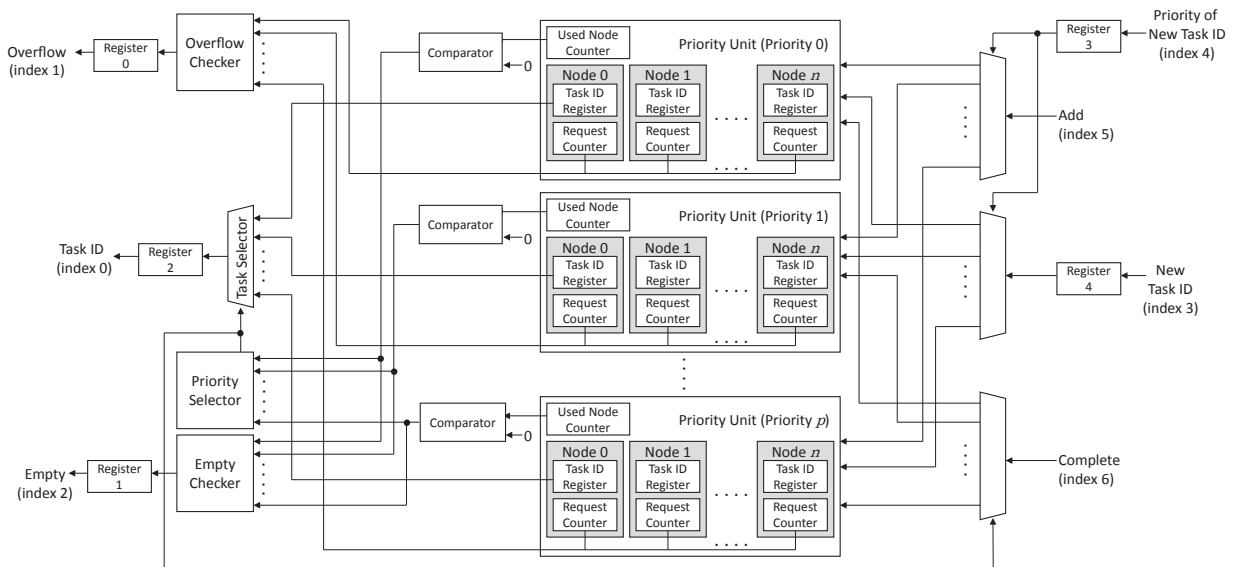


図3 提案手法のハードウェア実装図

る度にリスケジューリングしながら、それらを処理する。

μ ITRONのタスクスケジューリングはタスクの追加と完了の度に行われる。また、その処理時間は基本的に実行可能なタスク数により変動する。そのため、タスクスケジューリングの安定しないオーバーヘッドがリアルタイム性能に影響を与える。特に、ハードリアルタイムシステムではデッドラインミスを起こす原因ともなりえる。本稿では、この μ ITRONタスクスケジューリングを布線論理で行った場合の実現可能性について議論する。

4. 布線論理によるタスクスケジューラの実装

図3に、布線論理による μ ITRONタスクスケジューラを示す。入出力名の下に記載されているindex番号はメモリマップドI/Oのベースアドレスからのオフセットを意味している。Priority Unit内のpは優先度の最大値(Priority 0が最も優先度が高い)を、Node内のnはNodeの最大インデックスを示す。したがって、各Priority UnitのNode数はn+1である。 μ ITRONタスクスケジューラの入力は新規タスクID、その優先度、タスク追加信号とタスク完了信号である。出力はオーバーフロー信号、エンプティ信号と実行すべきタスクのIDである。Register 0~4, Used Node Counter, Task ID RegisterとRequest Counter以外は組み合わせ回路として実装されている。組込みOSからタスク追加の通知、タスク完了の通知が1になってから1クロック後に μ ITRONタスクスケジューラは次に実行すべきタスクIDを出力する。

Priority UnitとNodeは図1のレディーキューのデータ構造に相当する。Priority Unitは各優先度のタスクをFCFSで管理する機構であり、Used Node Counterとn+1個のNodeで構成されている。n+1個のNodeは各優先度のリストに相当し、Priority Unit内の各Nodeはデータを隣のNodeに転送できるように連結されている。Node0のタスクIDは各優先度において優先的に実行するタスクであるため、次に実行するタスクIDを選択するTask Selectorと接続されている。Used Node CounterはタスクIDを保存しているNode数をカウントし、タスクIDを保存しているNodeの末尾と、その優先度のタスクの有無を確認するために利用される。Node内のTask ID RegisterにはタスクIDが保存される。Request CounterはTask ID Registerに保存されているタスクIDの起動要求回数をカウントする。例えば、既に保存されているタスクIDを新規タスクIDとして追加する場合、他のNodeに新規タスクIDを保存せず、新規タスクIDと同じタスクIDが保存されているNodeのRequest Counterをインクリメントする。

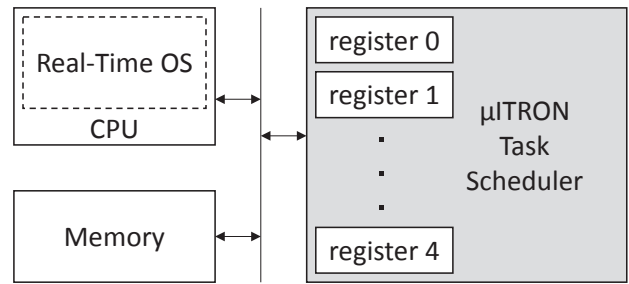


図4 提案手法を含むシステムモデル

両サイドのRegister0からRegister4は図4に示す提案手法のシステムモデルのレジスタに対応しており、組込みOSがアクセスするレジスタである。提案手法はメモリバスに接続され、それぞれのレジスタがメモリマップドI/Oでソフトウェアに管理される。ComparatorはUsed Node Counterの値と0を比較してタスクが存在する場合は1となる。Priority Selectorは各Comparatorの出力を元に、次に実行する優先度を選択する。Empty Checkerも各Comparatorの出力からタスクIDの有無を確認する。スケジューラ内に1つでもタスクIDが存在する場合、Empty Checkerは1を出力する。Overflow Checkerは全Request Counterのオーバーフローを確認する。1つでもRequest Counterがオーバーフローした場合、出力は1になる。

μ ITRONタスクスケジューラ全体のNode数は、組込みシステムの詳細設計で決定されたタスクセットがシステムに許容されるか否かを決定づける1つの指標となる。ある優先度のタスクの数が当該優先度のNode数を超えた場合、スケジューリングできない状況になるため、タスクの設計者は必ずそのNode数を知る必要がある。逆に言えば、Node数を超えなければ、必ずスケジューリングができることを保証できる。これはRequest Counterを導入したために発生した特性である。Request Counterの導入で、厳密にはFCFSを守ることはできなくなる。しかしながら、タスクスケジューラ化されたタスクスケジューラの恩恵を得ることができる。

μ ITRONタスクスケジューラにタスクを追加する場合、組込みOSはそのタスクIDと優先度をそれぞれRegister 3とRegister 4に保存した後に、Addを1クロック間だけ1にする。優先度からタスクIDを保存するPriority Unitを決定し、Addの信号とタスクIDをそのPriority Unitへ送る。このとき、追加するタスクIDがNodeに保存されていない場合は、Used Node Counterの値と同じインデックスのNodeにタスクIDを保存する。同時に、Used Node Counterをインクリメントする。一方、既にタスクIDがNode保存されている場合は同じタスクIDが保存されているNodeのRequest Counterをインクリメントする。この場合、Used Node Counterの

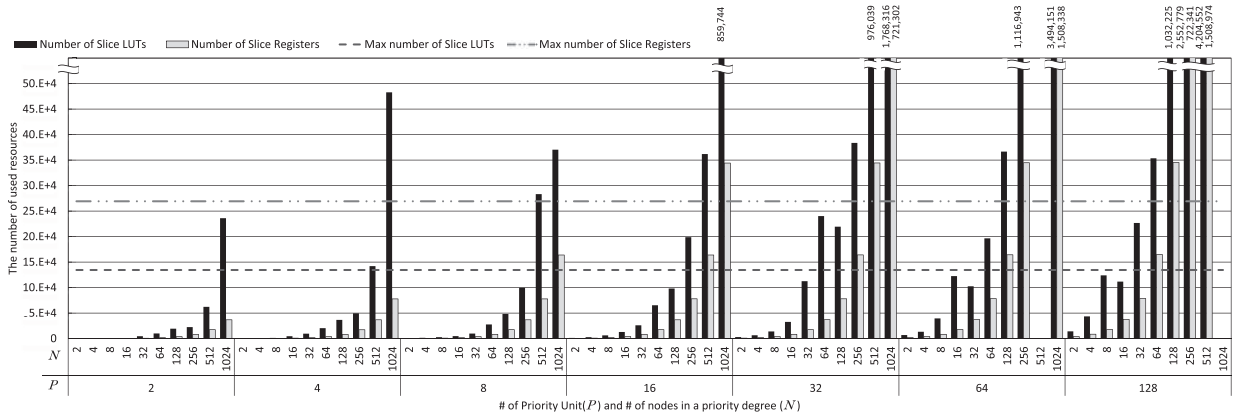


図5 提案手法のハードウェアサイズ

インクリメントは行わない。

各優先度のNode 0と接続されているTask Selectorは、Priority Selectorからの出力を元に次に実行すべきタスクIDを選択し、Register 0にタスクIDを保存する。プリエンプションが発生する場合、Priority Selectorは常にComparatorの出力を監視しているため、即座に新規タスクの優先度を出力でき、Register 0に新規タスクIDを保存できる。

実行していたタスクが完了して、組込みOSがCompleteを1クロック間だけ1にした場合、Priority Selectorからの優先度を元にタスクIDを削除するPriority Unitを選択し、そのPriority UnitへCompleteの信号を送る。 μ ITRONタスクスケジューラから削除するタスクIDのRequest Counterが1ならば、Node 0以外のNodeは隣のNodeへデータを移動する (Node 0はNode 1の内容に上書きされ、Node 0に存在したデータが消える)。同時に、Used Node Counterをデクリメントする。削除するタスクIDを持つRequest Counterが2以上ならば、Request Counterをデクリメントして、Used Node CounterをPriority Unit内のNodeのインデックスとして使用し、その位置にデータを移動する。そして、他のNodeは隣のNodeへデータを移動する。これは、ソフトウェア実装において、リストの末尾に繋ぎ直す動作をハードウェアで実現するための仕組みである。この場合、使用しているNode数は変わらないため、Used Node Counterはデクリメントされない。

Used Node Counterのデクリメントにより、そのカウンタが0になればComparatorの出力は0に変化するため、Priority Selectorが出力する優先度も変化する。一方、Used Node Counterのカウンタ値が1以上の場合、そのPriority Unitにはまだタスクが存在するため、Priority Selectorの出力は変化しない。Task Selectorは、タスク追加の処理と同様に、Priority Selectorからの優先度を元に次に実行すべきタスクIDを選択し、Register 0にタスクIDを保存する。

5. 使用リソース及び動作周波数の評価

FPGA専用の論理合成ツールで、布線論理による μ ITRONタスクスケジューラの使用リソース数と動作周波数を取得する。本節では、それらの結果から布線論理による μ ITRONタスクスケジューラの実現可能性について考察する。 μ ITRONタスクスケジューラはVerilog HDLで実装し、論理合成はLinuxマシン (CPU: Intel Core i7 3829 3.6GHz, メモリ: 64GB, OS: CentOS 6.6)で行った。ターゲットFPGAはXilinx社Artix-7のXC7A200T[3]とした。論理合成ツールとしてXilinx社ISE14.4 WebPackのXST14.4を用い、論理合成のオプションはDesign GoalをBalanced, StrategyをXilinx Defaultとした。様々な規模の使用リソース数と動作周波数を取得するために、Priority Unit数 $P (=p+1)$ は2から128までの2の累乗数とした。各 P におけるPriority Unit内のNode数 $N (=n+1)$ は2から1024までの2の累乗数とした。以降、便宜上 μ ITRONタスクスケジューラの規模を $\{P, N\}$ と定義する。各規模の μ ITRONタスクスケジューラで管理できるタスク数は $N \times P$ である。Request Counter内のレジスタは5bit幅に固定し、管理できる実行要求回数を31回までとした。

図5に、 μ ITRONタスクスケジューラの使用Slice LUT数と使用Slice Register数を示す。 $\{64, 512\}$ と $\{128, 1024\}$ は論理合成中にLinuxマシン上でスタックオーバーフローが発生したため、使用リソース数を取得できなかった。点線はXC7A200Tが搭載しているSlice LUT数とSlice Register数を示す。

布線論理の μ ITRONタスクスケジューラはSlice RegisterよりSlice LUTを多く利用する。これは、 μ ITRONタスクスケジューラ内はTask SelectorやPriority SelectorなどSlice LUTを利用する組み合わせ回路の機構の実装面積が支配的であることを示している。XC7A200Tのリソース数 (点線) と使用リソース数の比較をすると、XC7A200Tに μ ITRONタスクスケジューラを実装する場合、使用Slice LUT数で実装可能

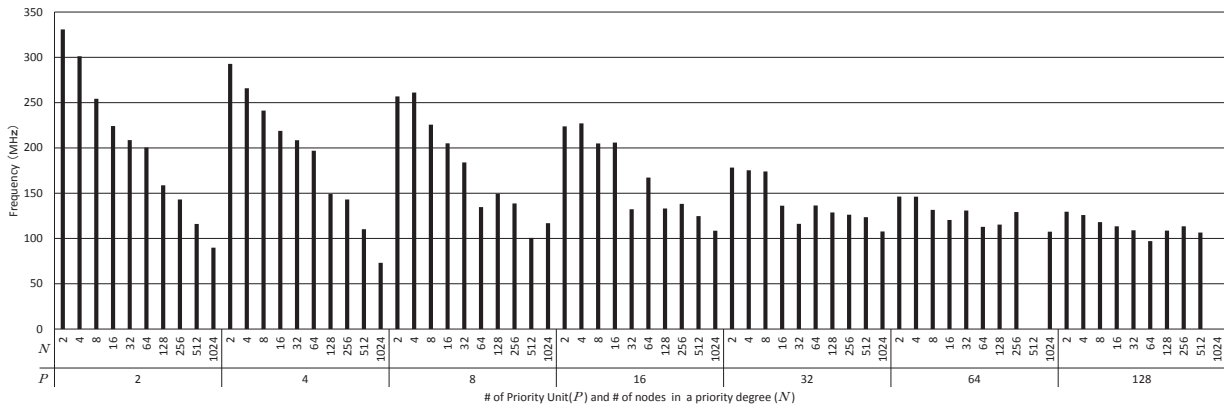


図6 提案手法の動作周波数

な規模が決まることが分かる。

各Pの使用Slice Register数はNの増加に伴って増加する。 μ ITRONタスクスケジューラ全体のNode数が同じ場合（タスク数 $N \times P$ が同じ）、使用Slice Register数はほぼ同等となった。これは、Nodeの総数が記憶素子の実装面積の大きさを決定づけている。

各Pの使用Slice LUT数は、一部を除きNの増加に伴って増加する。{8, 512}と{8, 1024}間の使用Slice LUT数の増加率は、XST14.4のLow Level Synthesisでの最適化により、他のPより低くなった。{32, 128}、{64, 32}と{128, 16}は、それぞれ{32, 64}、{64, 16}と{128, 8}と比較して、Nは2倍となっているが使用Slice LUT数は減少している。これらもLow Level Synthesisでの最適化の影響である。同Node数での比較では、優先度設定が多い（Pが大きい）方がSlice LUTの使用数が少ない傾向がある（e.g. {2, 512}、{4, 256}）。これはPriority Unit内のノード間接続を制御する組み合わせ回路がSlice LUTを消費する大きな要因であることを示しており、同一優先度のタスクが多くなれば、回路規模が大きくなることを示している。

図6に、 μ ITRONタスクスケジューラの動作周波数を示す。{64, 512}と{128, 1024}の動作周波数は、使用リソース計測と同様のスタックオーバーフローで取得できなかった。P=2とP=4の規模では、それらの動作周波数はNが増加するにつれて低下する。P=8においては、XST14.4のルーティングの影響により、大きな規模の動作周波数がそれより小さい規模より高くなる場合がある（e.g. {8, 512}と{8, 1024}）。

Pが増加するにつれて、動作周波数の最大と最小の差が小さくなる傾向がある。P=2での最大と最小の差は240.95MHzであるが、P=16では118.42MHz、P=128では32.47MHzとなる。Pが増加すると、Priority Unitに接続されている機構は大規模化し、動作周波数は低下する。そして、Pが大きい場合、Nの増加による動作周波数の変化は小さい。この結果、動作周波数の最大と最小の差は小さくなる。

このことから、回路構成において、Priority Unit間の接続部がクリティカルパスになりやすく、優先度設定が多過ぎると（Pを大きくし過ぎると）、全体のNode数が少ないのにも関わらず、十分な性能が得られない可能性があることがわかる。

本計測では、ほとんどの構成で100MHz以上の動作周波数を達成している。現在のFPGAの現実的な動作周波数から考えると、本稿のタスクスケジューラは十分な性能が達成できる可能性をもつ極めて単純な回路構造であるといえる。

6. 結論

本稿では、布線論理による μ ITRONタスクスケジューラの実現可能性についてFPGAを対象とした論理合成結果から議論した。実行可能状態のタスクを管理する μ ITRONタスクスケジューラの場合、その回路規模は組込み向けSoCの機能部品として提供するために現実的な規模であることを述べた。また、その性能は機能部品として提供可能なレベルである可能性をもつことを示した。加えて、スケジューリングの遅延が一定となることで、実行時間予測が容易になることも述べた。今後は、 μ ITRONの全タスク状態の遷移に対応するとともに、ソフトウェア実装時のオーバヘッドを計測し提案手法の性能を相対的に検証していく。

参考文献

- [1] 坂村健 監修, μ ITRON4.0 標準ガイドブック, 社団法人トロン協会 (編), パーソナルメディア株式会社, 東京, Nov. 2001.
- [2] T-Engine フォーラム, <http://www.t-engine.org/ja/what-is-t-kernel/mt-kernel>, 参照 May 29, 2015.
- [3] Xilinx Inc., "Xilinx 7 Series FPGAs Overview, Product Specification," http://www.xilinx.com/support/documentartion/data_sheets/ds180_7Series_O

verview.pdf, May 27, 2015.

研究業績

現在数本の論文を執筆中である。